

# حساب تيار الإزاحة في مجال خطوط التوتر العالي

د. هاني محمد د. عماد العداسي د. إبراهيم الاجطلي

كلية الهندسة - جامعة التحدى

## مقدمة:

عند قيام الإنسان بأي عمل داخل مجال خطوط نقل القدرة الكهربائية (صيانة، ربط خطوط جديدة... الخ) فإن من أهم المؤثرات الأساسية لشدة المجال الكهربائي لهذه الخطوط على جسم الإنسان هو تسرب التيار خلاله إلى الأرض، ويدعى هذا التيار بـتيار الإزاحة ويكون إلى حد كبير ذو تأثير خطير على حياة الإنسان. يمكن تحديد قيمة هذا التيار بالقياس سواء على خطوط التوتر العاملة أو في المختبرات الخاصة بالقدرة، وذلك بعمل نماذج خاصة تمثل الحالة المدروسة. عملية بناء أو إعادة بناء خطوط توتر غير تقليدية تعتبر عملية غير مجدية من الناحية الاقتصادية لهذا من الأفضل استعمال النمذجة الفيزيائية والرياضية التي تعطى امكانية مقارنة الاحتمالات الوراذه بالنسبة للخطوط المختلفة، وهذا فمن الضروري اختبار نموذج خاص لجسم الإنسان وموقعه بالنسبة لخطوط التوتر العالى.

## موضوع البحث:

لحساب شدة التيار الذي يتعرض له جسم الانسان العامل عند وجوده في مجال خطوط التوتر العالى تم إجراء بحث ودراسة عدة طرق نمذجة جسم الانسان، من بين هذه الطرق

- 1- عمل نموذج لجسم الانسان من اسطوانات معدنية ذات قياس  $1,8 \times 1$  متر كما في الشكل (1) ومساحة سطح هذه الاسطوانات مساوياً لمساحة سطح جسم

الانسان مع الاخذ بعين الاعتبار تأثير و عدم تأثير جميع الاطوار (الفازات) على النموذج (جسم الانسان المعدني).

-2 عمل نموذج بشكل اهليجي بارتفاع 1.8 متر مكافئ لجسم الانسان بالحجم والسمك.

-3 نموذج يتكون من كرة واسطوانتين كما هو موضح في الشكل (2) ونصف قطر الكرة 0.2 متر وتمثل رأس الإنسان واسطوانة ذات ارتفاع 0.4 متر ونصف قطرها 0.25 متر وتمثل القدمين مع الفخذين حتى الحوض. الاسطوانة الأخرى بارتفاع 1.2 متر ونصف قطرها 0.4 متر وهي تمثل جسم الإنسان من الكتفين حتى أسفل الحوض.

هذه النماذج الثلاثة ساعدت في دراسة وبحث الخطوة التي يتعرض لها جسم الإنسان عند قيامه بأي عمل في مجال خطوط التوتر العالى. يجب الإشارة هنا إلى أننا حصلنا على قيم تيار الإزاحة لخطوط التوتر العالى التقليدية والمتراسة ذات الجهد 330، 500، 750، 1150 ك.ف. لأن معظم الشبكات الكهربائية في البلدان العربية تعمل على جهود لا تزيد عن 220 ك.ف. والقليل منها فقط يعمل على جهود أكبر من هذه.

وتيار الإزاحة بالنسبة لهذه الشبكات معروف وهو أقل خطورة منه للشبكات ذات التوتر العالى وفوق العالى، وبما أن الشبكات الكهربائية في البلدان العربية في تطور مستمر لهذا هناك أهمية مميزة لهذا البحث الخاص بإيجاد قيم تيار الإزاحة لخطوط التوتر العالى وفوق العالى.

وقد تم إجراء البحث على الإنسان في ثلاثة مواقع عند قيامه بعمل ما على خطوط التوتر العالى كما هو موضح على الشكل 6:

\* الأولى على الأرض وتحت خط الطرف مباشرة.

\* الثانية على البرج على مستوى الخطوط.

\* الثالث فوق مكان تعليق الخط النهائي (الطرف) مباشرة.

وقد أجريت الدراسة لخطوط التالية والمبنية بالشكل 3:

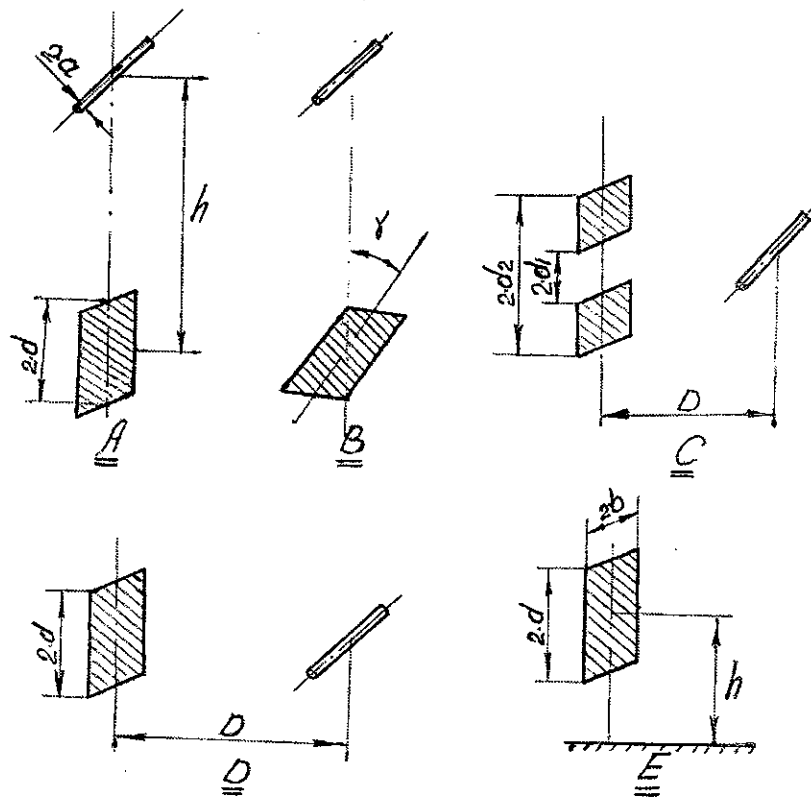
-2 المتراسة ذات الفاز العادي.

-4 المتراسة الدائرية.

-1 التقليدية

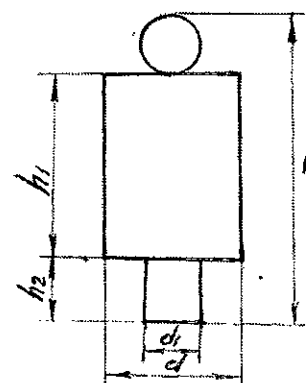
-3 المتراسة الاهليجية

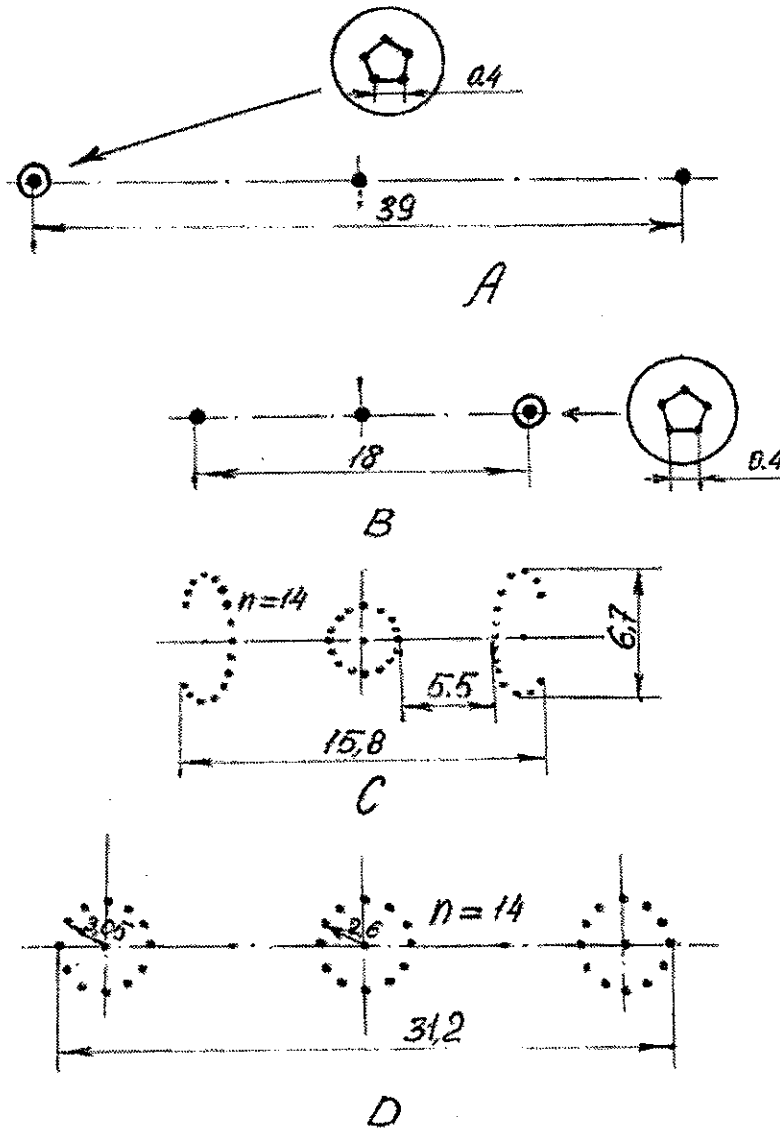
وقد أخذت الخطوط المتراصة الإهليجية والدائيرية حسب المعطيات الملائمة  
وذات الأفضلية الميكيلية كما جاء في المرجع 1.



شكل رقم (1) غاذج مختلفة لجسم الإنسان كقطع معدنية

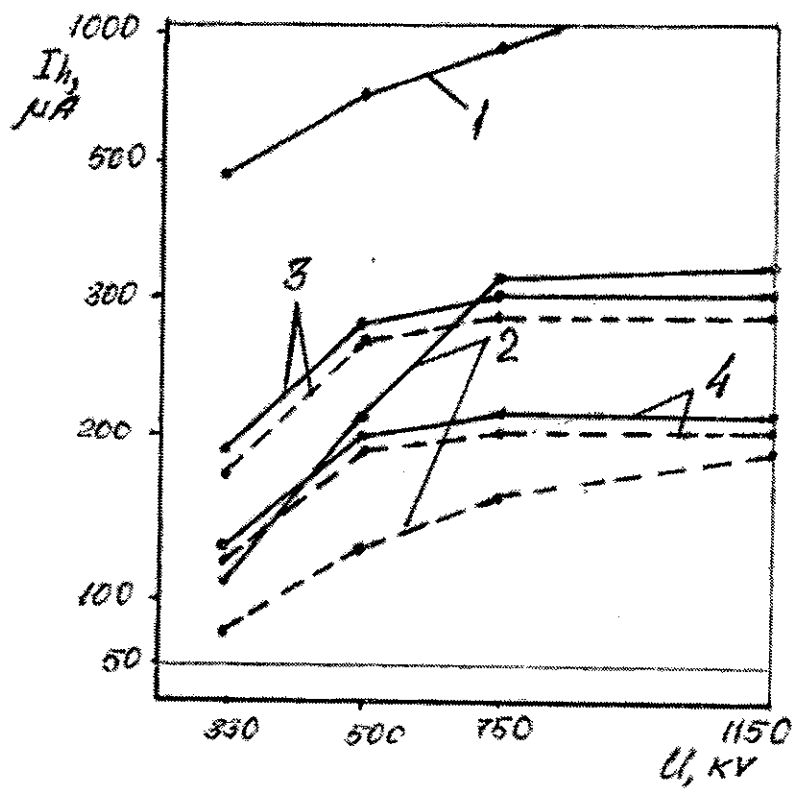
شكل رقم (2) غاذج لجسم الإنسان يتكون  
من كرة واسطوانتين



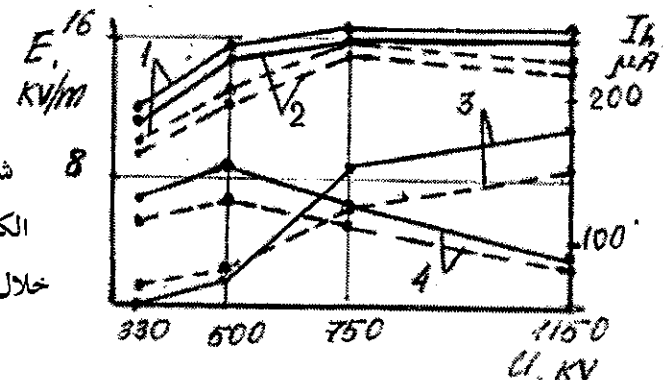


شكل رقم (3) موقع خطوط التوتر ذات 750 ك. ف. في الفراغ  
- خطوط تقليدية.

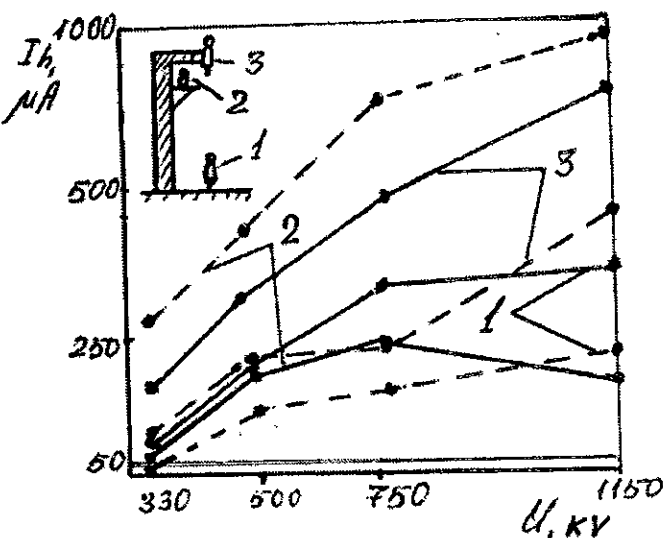
- خطوط متراصة ذات أشكال: عادية، اهلية، دائيرية.



شكل رقم (4) قيمة تيار الإزاحة خلال جسم الإنسان إلى الأرض  
عند استعمال ثاذج مختلفة لجسم الإنسان



شكل رقم (5) القيمة المتوسطة لشدة المجال  
الكهربائي (الخطوط المقطعة) وتيار الإزاحة  
خلال جسم الإنسان إلى الأرض (الخطوط المتصلة)



شكل رقم (٦) قيمة تيار الإزاحة عند موقع مختلفة لجسم الإنسان بالنسبة للخطوط

الخطوط التقليدية -----

الخطوط المترافق —————

حساب السعة (الإنسان - الطور (الغاز)) تم إجراءه عندما يكون الإنسان (نموذج الإنسان) على الأرض وتحت الطور مباشرةً بالعلاقة التالية حسب المرجع 2.

$$C = \frac{2\pi \cdot \epsilon}{\operatorname{Arch} \left( \frac{h^2 - d^2 - \alpha h}{\alpha d} \right)} \quad \dots \dots \dots \quad (1)$$

حيث:  $\epsilon = \epsilon_0 = 8.854 \cdot 10^{-12}$  فراد/متر

- $\alpha$  - نصف القطر المكافئ لخطوط الأطوار، متر.

- $2d$  - ارتفاع الأسطوانة، متر.

- $h$  - المسافة بين الخط ومتصرف جسم الإنسان وهو على الأرض، متر.

كما وتناولنا دراسة تأثير تيار الإزاحة لبقية الأطوار الأخرى على جسم الإنسان.

فعند وجوده تحت طور واحد ول يكن C كما هو موضح في الشكل IA وهذه الطريقة تختلف عن الطرق الموضحة في المرجع 3، لذلك يؤخذ في الاعتبار تأثير تيار الإزاحة للطور الواحد دون النظر إلى تيار الإزاحة الناتج عن الأطوار الأخرى.

وعند حساب تأثير تيار الإزاحة على جسم الإنسانأخذ موضع النموذج بالنسبة للطورين الآخرين A و B وذلك بإدارة النموذج بزاوية  $\gamma$  بالنسبة لمحور الإسطوانة في الوضع الأول والشكل IB يوضح ذلك.

وباختبار النتائج التي تم الحصول عليها باستعمال القياسات الخاصة بالنموذج التي أشرنا إليها سابقاً وبعده عن خطوط التوتر وجدنا أن الفرق في الحسابات حسب العلاقة (1) وحسب القوانين الواردة في المرجع (2) وعند الزاوية  $\gamma = 90^\circ$  لم تزيد عن 0.12% وهذا السبب سعة جسم الإنسان بالنسبة للطورين A و B أجريت حسب العلاقة (1)

أما السعة المكافئة وكذلك الجهد المكافئ بالنسبة (الإنسان - الخط) فتم حسابها كالتالي:

$$C_{heq} = C_{hA} + C_{hB} + C_{hc} \quad (2)$$

$$U_{eq} = \frac{U_f}{\sqrt{3} \cdot C_{heq}} (C_{hA} + \alpha^2 C_{hB} + \alpha C_{hc}) \quad (3)$$

حيث:  $\alpha$  - معامل التطور.  
 $U_f$  - جهد الطور

وبما أن السعة بين (جسم الإنسان - الأرض) أكبر بكثير من السعة بين (جسم الإنسان - الخط) فإن القيمة الأولى هي التي تحدد تيار الإزاحة ويمكن التعبير عن ذلك بالعلاقة:

$$I_h = 2 \cdot \Pi \cdot f C_{heq} U_{eq} \quad (4)$$

و عند وجود جسم الإنسان على البرج فلحساب السعة بين (الخط - الإنسان)  
يمكن استعمال العلاقة التالية : 2

$$C_h = \frac{2 \cdot \Pi \cdot \epsilon}{\operatorname{Arch} \frac{\sqrt{(d_2^2 + D^2) [d_2^2 + (D-a)^2]} - (d_2^2 - d_1^2)}{\sqrt{d_2^2 - d_1^2} [\sqrt{d_2^2 + D^2} - \sqrt{d_2^2 + (D+a)^2}]}} \quad (5)$$

بالنسبة لخطوط التوتر العالي 330 ك.ف. - 750 ك.ف . حسب الشكل 1C

أخذنا قيمة  $d_1 = 0$  وحسبنا السعة كالتالي:

$$C_h = \frac{2 \cdot \Pi \cdot \epsilon}{\ln \left( \frac{2D^2}{2d} \right)} \quad (6)$$

أما بالنسبة لخطوط التوتر 1150 ك.ف. (الشكل 1d) فيمكن حساب السعة الكهربائية بين (جسم الإنسان على البرج - الأرض) وفق العلاقة التالية:

$$C_{eq} = \frac{C_0}{2 - \frac{C_0}{2\Pi\epsilon(h-d)}} \quad (7)$$

حيث:

$$C_0 = \frac{16\epsilon d}{\frac{d}{b} \operatorname{Arch} \frac{b}{d} + \operatorname{Arch} \frac{d}{b}} \quad (8)$$

يجب الإشارة هنا إلى أن الرموز الموجودة في المعادلات من (1) حتى (8) على أساس الشكل 1. والسعه المكافحة (الإنسان على البرج - الخط) حسبت بالعلاقة (5) و (6) أما للنظام ثلاثي الطور فحسب العلاقة (2)، والسعه بين (جسم الإنسان - الأرض) وبالعلاقة (7)، أما العلاقة (4) فستستخدم لحساب تيار الإزاحة المار عبر جسم الإنسان وهو على البرج، في حالة وجود جسم الإنسان عند نقطة تعليق الخط (فوق الخط مباشرة) تحدد السعة بالعلاقة (1) ونسبة الخطأ بالنسبة للفازين A و B لم تتعدي 1.0 - 0.5 %.

ولحساب السعة بين (الإنسان - الأرض) استخدمت العلاقة (7) و (8)، أما حساب تيار الإزاحة فبالعلاقة (4).

عند عمل نموذج لجسم الإنسان (كرة - اسطوانتين) يحسب تيار الإزاحة المار خلال جسم الإنسان إلى الأرض بالعلاقة التالية حسب المرجع 3.

$$I = \frac{10.8E_{am} \cdot h^2}{\ln(2h/d)} \left(1 - \frac{0.3}{x^2}\right) \quad (9)$$

حيث x- المسافة بين مسقط الطور على الأرض والنقطة الواقع عليها جسم الإنسان.

h- ارتفاع جسم الإنسان.

d- نصف قطر الإسطوانة العلوية (نموذج جسم الإنسان).

$$E_{am} = (E_0 + E_1 + E_{1.8})/3 \quad (10)$$

العلاقة (10) تعطي المتوسط الحسابي لشدة المجال الكهربائي عند الارتفاع 0 و 1 و 1.8 متر عن سطح الأرض.

أما حساب شدة المجال الكهربائي فقد أجري بالطرق المعروفة في أساس الهندسية الكهربائية وبالاعتماد على قانون جاوس.

الأشكال 4، 5، 6 توضح نتائج الحسابات التي تم الحصول عليها بالنسبة للخطوط التقليدية والمتراسة، وجميع البارومترات موجودة في الجدول 1.

قيس تيار الإزاحة المار خلال جسم الإنسان إلى الأرض للخطوط التقليدية والمتراسة لعدة جهود اسمية مختلفة وللأطوار العادية مبينة على الشكل 4، والأرقام التي على الشكل تشير إلى الآتي:

- 1- استعمل اسطوانة واحدة مع عدم الأخذ بعين الاعتبار تأثير الفازات المجاورة للفاز المؤثر.
- 2- استعمال أسطوانة بأخذ تأثير جميع الفازات بعين الاعتبار.
- 3- نظام (كرة - اسطوانتين).

-4- استعمال الشكل النصف الأهليجي.

أما الخط المستقيم فيبين القيمة المسموح بها لتيار الإزاحة والتي لا تترى على حياة الإنسان وهي تعادل  $460 \mu A$ .

الدراسة توضح أنه عند عمل نموذج للإنسان من اسطوانة معدنية لا يمكن إهمال تأثير جميع الأطوار على النموذج (الإنسان) لأن هذا يؤدي إلى عدم دقة النتائج الحسابية مع العلم أنه عند زيادة الجهد الأسني للخط فإن الخطأ في النتائج إذا ما أهمل تأثير جميع الأطوار على النموذج سوف يزداد.

المقارنة للنتائج الحسابية عند عمل نموذج للإنسان من اسطوانة معدنية والنظام (كرة - اسطوانتين) المنحنيات 2 و 3 على الشكل 4 تبين أن الخطأ في النتائج يقل عند زيادة الجهد الأسني للخط. مثلاً للخطوط التقليدية تساوي حوالي 37% عند جهد أسني قدره 330 ك.ف. أما عند الجهد الأسني 1150 ك.ف. للخط فإن الخطأ في النتائج الحسابية يكون حوالي 17%. أما للخطوط المتراصة فهو يساوي على التوالي 45% و 66%.

إذا ما قورنت هذه النتائج مع النتائج القياسية الواردة في المرجع 4، فإن الأفضلية تعود إلى الطريقة التي استعملنا فيها نظام (كرة - اسطوانتين).

على الشكل 5 قدمنا القيمة المتوسطة لشدة المجال الكهربائي تحت الأطوار الجانبيه  $E_m$  وتيار الإزاحة المار خلال جسم الإنسان إلى الأرض عند نمذجة جسم الإنسان (كرة - اسطوانتين) لخطوط مختلفة الجهد الأسني، والنتائج التي حصلنا عليها تفيد بأن تيار الإزاحة تحت خطوط التوتر العالى المتراصة ذات الفازات العادية يتراوح بين 95% و 98% من تيار الإزاحة تحت الفازات التقليدية، أما تحت الخطوط المتراصة ذات العازلات الدائيرية فكانت 33÷65%， أما الأهلية فكانت 33-48%.

الشكل 6 يبين تيار الإزاحة المار خلال جسم الإنسان لعدة أوضاع لنموذج بالنسبة لخطوط التوتر العادي وأوردنا منها ثلاثة أوضاع وهي:

- 1- على الأرض.
- 2- على البرج.
- 3- فوق نقطة تعليق الخطوط.

بالنسبة للخطوط التقليدية والمتراصة ذات الفازات العادية. من هذا الشكل يتضح أن تيار الإزاحة المار حلال جسم الإنسان يكون أعظمياً عندما يكون الإنسان فوق نقطة التعليق بالنسبة للخطوط العادية (الوضع 3 على الشكل 6).

جدول رقم (I) المعطيات للخطوط التي أجريت عليها الدراسة

أبعاد الطور (مقاييس) الطور، متر		ارتفاع نقطة تعليق الخط، متر	المسافة بين الأطوار، متر	عدد خطوط الطور الواحد	نوع خطوط النقل	$U_{nom}$ KV
الأفقي	العمود					
18.4	0.24	18.5	9.2	2	عادية	330
					متراصة:	300
6.4	0.24	18.5	5.5	2	عادية	
8.6	2.8	13.5	0.3	8	أهلية	
13.4	2.8	13.5	3.0	8	دائرة	
24.4	0.3	22.5	12	3	عادية	500
					متراصة:	500
7.9	0.3	22.5	7.5	3	عادية	
10.7	6.8	17.4	3.75	10	أهلية	
22.3	5	17.4	3.75	10	دائرة	
39.4	0.6	27.5	19.5	5	عادية	750
					متراصة:	750
10.4	0.6	27.5	9.0	5	عادية	
15.8	6.7	21.0	5.0	14	أهلية	
31.2	6.1	21.0	5.0	14	دائرة	
31.2	0.95	30.0	22.4	8	عادية	1150
					متراصة:	1150
14.4	0.95	30	13.0	8	عادية	
22.5	9.7	28	7.0	20	أهلية	
48.4	9.4	28	7.0	20	دائرة	

ما بالنسبة لمحضوت المتراسمه تكون العيمه الاعظمية لتيار الإزاحة عندما يكون الإنسان على البرج الحامل للخطوط في الوضع 2 على الشكل 6.

عند وجود الإنسان في وسط البرج المعدني فإن متوسط شدة المجال الكهربائي يقل بمعدل  $1,5 \div 2$  مرة.

في جميع الحالات التي تم دراستها وجد أن قيمة تيار الإزاحة المار خلال جسم الإنسان يزيد بكثير عن القيمة المسموح بها، ويكون تيار الإزاحة أكبر مما يمكن عند وجود الإنسان في مجال تأثير خطوط التوتر العادمة. أما الخطوط المتراسمة الاهليجية للجهود 330 و 500 ك.ف. والمتراسمة الدائرية ذات الجهد 750 و 1150 ك.ف. فإن تيار الإزاحة يكون أقل مما يمكن.

جميع النتائج التي حصلنا عليها وقدمت في الأشكال 4 - 6 أخذت للإنسان وهو في وضع الوقوف، أما في وضع المجلوس فتكون قيم تيار الإزاحة أقل من القيم التي حصلنا عليها وتأكد ذلك النتائج العملية المدونة في المرجع 3.

النتائج التي حصلنا عليها تؤكد ضرورة استعمال أدوات وأجهزة حماية للإنسان العامل في مجالات خطوط التوتر العالي.

## الخلاصة

- 1- من أجل الأمان الصناعي أثناء القيام بأعمال في مجال خطوط التوتر العالي يجب معرفة قيم تيار الإزاحة وخاصة عند استعمال أنواع جديدة للأبراج والخطوط يتم ذلك بالمندحة الرياضية.
- 2- لدراسة تأثير خطوط التوتر العالي على جسم الإنسان يستخدم النموذج المقترن (كرة - اسطوانتين).
- 3- تيار الإزاحة الناتج عن مجالات الخطوط المتراصة الأهليلجية ذات الجهد 330 و 500 ك.ف. يكون أكبر وبالتالي أحضر من تيار الإزاحة المولدة في مجالات الخطوط المتراصة الدائرية ذات الجهد  $750 \div 1150$  ك.ف.
- 4- يجب اتخاذ الإجراءات الازمة للحماية عند القيام بأي عمل في مجالات الخطوط ذات التوترات 330 - 330 ك.ف.

## المراجع

- 1- Cortina R., Garbagnati E., Pigini A., "Switching impulse strength of phase - to - earth" UHF extrnal insulation.
- 2- Shelia Duglas J., "Calculation of optimum preventive maintenance intervals for electrical equipment" IASS (IEE Ind. Appl. Soc.), 15<sup>th</sup> Annu. Meet, Cincinnati, 1980, VI 1-2 N. Y, 1980.
- 3 كيرانف ف. ج. "نزعجة الحالات الكهربائية لدراسة تأثيرها على الإنسان" مجلة الطاقة - والمواصلات، 1984، العدد الأول، ص 123 - 133 (باللغة الروسية).
- 4 يوسل و. ي، كدانف ي. س. "حساب السعات الكهربائية" - لينيغراد، مطبعة الطاقة، 1981، ص 288 (باللغة الروسية).